

"أثر استخدام زوابيا مفاصل الجسم خلال مراحل أداء الغطسة المعاكسة"

المنحنية من السلم الثابت على ارتفاع ١٠ متر في التنبؤ

بدرجة أدائها "

أ.م.د/ هنان محمد مالك يوسف

١/٠ مقدمة ومشكلة البحث : The Research Introduction and Problem :

يتميز الأداء البشري في المجال الرياضي بالتكامل بين كافة الخصائص المحددة لهذا الأداء والمؤثرة فيه ، ودراسة هذه الخصائص قياساً وتقريباً إنما يحقق درجة عالية من الفهم الدقيق لما يجب أن يكون عليه هذا الأداء ، وكيفية تطويره وتحسينه بالإضافة إلى إمكانية ابتكار الجديد منه ، وتوقع ما يمكن أن يكون عليه في المستقبل .

ولرياضية الغطس مكانه متميز بين الرياضيات الأخرى ، فهي رياضة لها أهدافها الاجتماعية والنفسية والتربوية حيث تمارس وفق قوانين محددة ، وقواعد تنظيمية خاصة بها تحكم التناقض بين المنافسين في مسابقات الغطس من السلم الثابت أو المتحرك على ارتفاعاته المختلفة .

وتعتبر الغطسة المعاكسة المنحنية من مجموعة الغطسات المعاكسة والتي تؤدي بتأثير الغطس الخلفي من الإرتفاع الأمامي ، وتعتبر هذه الغطسات من الغطسات الصعبة ليست فقط لأنها غطسات لا يرى فيها اللاعب سلم غطس ، ولكن أيضاً لدوران الرأس للخلف نحو سلم الغطس ، ويعتبر تفهم المدرب والمدرس لميكانيكية الإرتفاع وقدرتهم على توصيله للاعبين بستقى ووضوح وإقدار من أهم عوامل نجاح الغطسات المعاكسة المنحنية من سلم الغطس الثابت على ارتفاع ١٠ متر (١١) .

وأهتم العديد من الباحثين بدراسة بعض الغطسات من وجهات نظر متباعدة مثل باس Bass (١٩٧٠) (١٠) ، روبرت Robert (١٩٧٣) (١٧) ، أشرف هلل (١٩٨٠) (١) ، وصلاح الدين مالك (١٩٨٥) (٤) ، (١٩٩٠) (٥) .

ويرى جمال علاء الدين (١٩٩٤) (٣) أن التحليل البيوميكانيكي يشكل الفروض والمقادير الأولية المتعلقة بوضع الأساس العلمي لترشيد عملية صقل وتدريب الحركات

* لستة مصادر بقسم طرق التدريس والتدريب والتربية الفعلية بكلية التربية الرياضية للبنات بالقاهرة - جامعة حلوان .

الرياضية مما ساهم في رفع مستوى الأداء المهارى عن طريق توضيح وتحديد العلاقة بين أجزاء الجسم منفردة أو مع بعضها البعض خلال الأداء .

ويشير عادل عبدالبصير (٢٠٠٤) (٨) إلى أن التركيب المشترك لجسم الإنسان والذي يمكن تمثيله ميكانيكيا كنظام حلقي تتحرك فيه الأعضاء الصلبة حول محاور الدوران المارة بالمفاصل يحتم التركيز على الوضع الزاوي وسرعة وعجلة الأطراف ، وأنه من المفيد تسجيل العلاقة بين الوضع والזמן للأعضاء المختلفة في أي تحليل ، كما يشير أيضا إلى تلك العلاقة العكسية بين الكثافة ونصف قطر الدوران خلال مراحل الحركة أثناء مرحلة الطيران حيث تؤدي أي زيادة في نصف قطر الدوران خلال الأداء إلى تناقص في السرعة الزاوية للجسم طبقاً لمبدأ ثبات كمية الحركة الدورانية في الهواء ، حيث يلاحظ أن لاعب الغطس يدور أسرع في وضع التكور عنه في الوضع المستقيم للجسم ، وبذلك يستطيع التحكم في معدل دوران جسمه في الهواء (السرعة الزاوية) .

ويتضح مما سبق أهمية التعرف على التغيير الزاوي وأيضاً التغيير في السرعة الزاوية لوصلات مفاصل جسم اللاعب خلال مراحل أداء الغطسة المعكوسة المنحنية من السلم الثابت على ارتفاع ١٠ متر ، وعلاقته بدرجة تقييم الحكم لأدائها ، وتحديد نسبة مساهمة زوايا وصلات مفاصل كل من الرأس والكتفين والفخذين والركبتين والقدمين خلال مراحل كل من الإرتفاع ، والطيران ، والدخول في الماء في درجة أداء الغطسة في تعكّن اللاعب من السيطرة على جسمه خلال مراحل أداء الغطسة قيد البحث ، مما يؤدي في النهاية إلى الإرتفاع بمستوى الأداء والحصول على درجة أداء مرتفعة ، لذا أتجهت هذه الدراسة لمعرفة أثر استخدام زوايا مفاصل الجسم خلال مراحل أداء الغطسة المعكوسة المنحنية من السلم الثابت على ارتفاع ١٠ متر في التقييم بدرجة أدائها .

٠/٢ أهداف البحث : The Research Purpose :

تهدف هذه الدراسة إلى التعرف على مايلي :

١/٢ العلاقة بين السرعة الزاوية لمفاصل الجسم خلال أداء الغطسة المعكوسة المنحنية من السلم الثابت إرتفاع ١٠ متر ودرجة أدائها .

٢/٢ نسبة مساهمة السرعة الزاوية لمفاصل الجسم خلال أداء الغطسة المعكوسة المنحنية من السلم الثابت إرتفاع ١٠ متر ودرجة أدائها .

٣/٢ النموذج الرياضي التبؤى للتبؤى بدرجة أداء الغطسة المعكوسة المنحنية من السلم الثابت
ارتفاع ١٠ متر بدلالة السرعات الزاوية لتفاصيل الجسم خلال أداء الغطسة المعكوسة المنحنية
المساهمة فيه .

٤/. تساؤلات البحث : The Research Questions :

١/٣ هل توجد علاقة بين السرعة الزاوية لتفاصيل الجسم خلال أداء الغطسة المعكوسة
المنحنية من السلم الثابت إرتفاع ١٠ متر ودرجة أدائها ؟

٢/٣ ما هي نسبة مساهمة السرعة الزاوية لتفاصيل الجسم خلال أداء الغطسة المعكوسة
المنحنية من السلم الثابت إرتفاع ١٠ متر في درجة أدائها ؟

٣/٣ هل يمكن التبؤ بدرجة أداء الغطسة المعكوسة المنحنية من السلم الثابت إرتفاع ١٠ متر
بدلالة السرعات الزاوية لتفاصيل الجسم خلال أداء الغطسة المعكوسة المنحنية
المساهمة فيه ؟

٤/. الرموز The Termnology :

١ - درجة تقييم الحكام للفطسة المعكوسة المنحنية

٢ X - متوسط السرعة الزاوية لمفصل الرأس في الوضع المنخفض خلال الإرتفاع .

٣ X - متوسط السرعة الزاوية لمفصل الرأس في وضع نهاية الإرتفاع .

٤ X - متوسط السرعة الزاوية لمفصل الرأس في وضع بداية الطيران .

٥ X - متوسط السرعة الزاوية لزاویتی مفصل الكتفين في الوضع المنخفض خلال
الارتفاع .

٦ X - متوسط السرعة الزاوية لزاویتی مفصل الكتفين في وضع نهاية الإرتفاع .

٧ X - متوسط السرعة الزاوية لزاویتی مفصل الكتفين في وضع بداية الطيران .

٨ X - متوسط السرعة الزاوية لزاویتی مفصل الركبتين في الوضع المنخفض خلال
الارتفاع .

٩ X - متوسط السرعة الزاوية لزاویتی مفصل الركبتين في وضع نهاية الإرتفاع .

٥/٠ الدراسات المصاحبة : The Similar Studies

قامت كل من ميلر Miller ومنرو Munro (١٩٨٥) (٤) بعمل دراسة لأداء جريح لوجانس Greg Louganis من حيث علاقة الإرقاء بدفع الدوران وذلك من خلال دراسة تحليلية لأوضاع المفاصل وزمن الأداء خلال مرحلة الإرقاء أثناء أداءه لبعض الغطسات الأمامية والمعكوسة من السلم المتحرك إرتفاع ٣ متر ، وقد كانت معظم الفروق الملحوظة بين تكتيك أداء اللاعب جريح لوجانس وتكتيك غيره من اللاعبين الذين وصلوا إلى الدور النهائي عام (١٩٨٢) خلال البطولة الكندية ، تتركز في إتساع المدى الحركي لمفاصل الجسم لللاعب جريح لوجانس وخاصة مفاصل كل من الركبتين والفخذين والكتفين بالإضافة إلى قيامه بعملية الدوران بذراعين أكثر استقامة من حالة اللاعبين السابق ذكرهم ، وأن زمن مرحلة الإرقاء بالنسبة للاعب جريح لوجانس كان في المتوسط (0.45 ± 0.01) ث بالمقارنة بزمن قدره (٠.٣٨) ث في المتوسط بالنسبة لباقي اللاعبين مما أعطاه الوقت الكافي لأنتمام الثنائي والفرد الكامل لمفاصل الجسم .

كما قام صلاح الدين محمد مالك (١٩٨٥) (٤) بدراسة " التحليل الديناميكي للدورتين والنصف الخلفية من السلم المتحرك " ، بهدف دراسة تحليل ديناميكية الإرقاء لمهارة الدورتين ونصف الخلفية من السلم المتحرك وتوصيف أنساب الأوضاع لتجميع أنساب المقادير لدفع الدوران لحظة الإرقاء والستي تؤدي إلى إتمام الواجب الحركي ، وأهم العناصر الديناميكية المؤثرة في مستوى أداء الغطسة قيد الدراسة ، وشملت عينة البحث أربعة لاعبين من الفريق القومي المصري للغطس عام (١٩٨٤) ، وأستخدم التصوير السينمائي والتحليل الحركي للحصول على البيانات الأساسية لهذه الدراسة ، كما استخدمت طريقة التحكيم لتحديد درجة أداء الغطسة قيد الدراسة ، وقد أسفرت أهم النتائج عن تأرجح زمن الإرقاء بين (٤،٦ ث ، ٠.٨٨ ث) وزمن الطيران بين (١٦،١١ ث ، ١.٢٤ ث) وكان في أفضل المحاولات (٠.٢٠ ث) ، وتراجح معامل الدفع النسبي ما بين (٠.٩٨ ، ٠.٥٣٨) وبلغ في أفضل المحاولات (١.٠) ، وكانت زاوية إنحراف CG لحظة الدخول في الماء أكثر المتغيرات الديناميكية قيد البحث مساهمة في درجة أدائها يليها كل من معامل الدفع النسبي ، زمن الطيران ، زاوية ميل CG على المستوى الأقصى لحظة كسر الإتصال ، أقصى إرتفاع يصل إليه CG خلال الطيران ، الناتج الحركي ، زاوية الإنطلاق على التوالي ، واستخلص الباحث المعادلة التوبية للتتبؤ بدرجة أداء الغطسة قيد البحث بدلالة المتغيرات الديناميكية المساهمة فيها .

كما قام صلاح الدين محمد مالك (١٩٩٠) (٥) بدراسة " مقارنة ميكانيكية الدورتين والنصف والدوره والنصف معكوسة منحنية من السلم المتحرك ٣ متر " ، وقد أجرى الدراسة

على لاعبي المنتخب الأولمبي للولايات المتحدة الأمريكية المشتركين في الدورة الأوليمبية في سول سنة ١٩٨٨ وكان عددهم أحدى عشر لاعبا ، وقد استخدم التصوير السينمائي لجمع البيانات المطلوبة ، وقد أظهرت نتائج أن أهم العناصر الديناميكية المؤثرة في لحظة الإرقاء هي زمن الدفع بالقدمين ، السرعة لحظة كسر الإتصال ، زاوية الانطلاق ، وذلك لغطسة الدورة والنصف المعاكس المنحنية ، وأن أهم العناصر الديناميكية المؤثرة في لحظة الإرقاء في الدورتين والنصف المعاكس المنحنية هي زمن الدفع بالقدمين، والسرعة لحظة كسر الإتصال ، ودفع الدوران النسبي لحظة كسر الإتصال .

كما قام موكيرجي س. ب. Mookerjee S.B (١٩٩٧) (١٦) بدراسة " مساهمة أجزاء الجسم في تحقيق متطلبات الإرقاء والدوران " للإرقاء الخاص بالغضسات الإجبارية والإختيارية من السلم المتحرك ، مستخدما التصوير السينمائي والتحليل الحركي ، وقد أسفرت نتائج عن أن جميع الغطسات حققت سرعة أفقية ساهمت في ابتعاد الجسم عن اللوحة ، وأن كمية الحركة الزاوية أكبر للغضسات الإختيارية عنها بالنسبة للغضسات الإجبارية ، وأن حركة الرجلين تمثل الأهمية الأولى في تحقيق كمية الحركة الزاوية للجسم .

كما قام عمرو محمد إبراهيم (٢٠٠٠) (٩) بدراسة " مساهمة بعض المتغيرات الديناميكية في مستوى أداء غطسة الدورتين والنصف الأمامية المنحنية من السلم المتحرك على إرتفاع مترا واحد " ، بهدف التعرف على أهم المتغيرات الديناميكية المؤثرة في درجة أداء الغطسة قيد الدراسة ، وتحديد أهم المتغيرات الديناميكية مساهمة في درجة تقدير الحكم لآدائها ، وشملت عينة البحث ثلاثة لاعبين من لاعبي الفريق القومي المصري للغضس ، أدى اللاعب الأول المهارة قيد الدراسة ٥ مرات واللاعب الثاني أدى نفس المهارة ٤ مرات واللاعب الثالث أدى نفس المهارة ٣ مرات حيث أصبحت عينة البحث ١٢ محاولة ، وأستخدم التصوير بالفيديو ، وتم تحليل الفيلم المصور بنظام تحليل وبين بمعمل الميكانيكا الحيوية بكلية التربية الرياضية ببور سعيد جامعة قناة السويس ، وتم تحديد درجة أداء كل محاولة عن طريق الحكم ، وأسفرت نتائج عن تناسب درجة أداء المهارة قيد الدراسة تناسباً عكسياً مع كل من زمن الإرقاء الأول والثاني ، وتناسباً طردياً مع دفع القوة المؤثرة على CG في إتجاه المركبة الرأسية لحظة لمس السلم المتحرك خلال الإرقاء الأول ، وكانت أهم المتغيرات الديناميكية المؤثرة في درجات الحكم هي : دفع القوة الرأسية المؤثرة على CG لحظة لمس سلم الغطس ، دفع القوة الرأسية المؤثرة على CG لحظة الانطلاق الثاني ، وزاوية الانطلاق خلال الإرقاء الثاني وزمن الإرقاء الثاني ، والمسافة الأفقية لحظة الدخول في الماء على التوالي .

٦/٠ إجراءات البحث : The Research Procedures :

١/٦ منهج البحث : The Methodology :

استخدمت الباحثة المنهج الوصفي لمناسبتها لطبيعة هذه الدراسة .

٢/٦ عينة البحث : The Research Subject :

اختارت الباحثة عينة البحث بالطريقة العدمية من الغطاسين المشتركين في مسابقة الغطس من السلم الثابت إرتفاع ١٠ متر في دورة الألعاب الأولمبية عام ٢٠٠٤ بأثينا (Athens 2004 Olympic Games) والتي أدوا الغطسة المعاكسة المنحنية من سلم الغطس الثابت إرتفاع ١٠ متر والحاصلين على أعلى الدرجات لهذه الغطسة وعدهم ٦ غطاسين.

٣/٦ وسائل جمع البيانات : Data Collection Methods :

تم تسجيل وقائع مسابقة الغطس المقامة في دورة الألعاب الأولمبية عام ٢٠٠٤ بأثينا بالسيونان عن طريق استقبال البث المباشر من خلال الأقمار الصناعية الفضائية عن طريق المحطة الفضائية لدولة قطر ، وقد تم تصوير المهارة قيد الدراسة بمعرفة اللجنة الفنية للاتحاد الدولي للغطس للرجال بثلاث كاميرات فيديو ثابتة سرعة كل منها ٢٥ مجل / ثانية والفيديو صالح للتحليل .

٤/٣/٦ تحليل فيلم الفيديو :

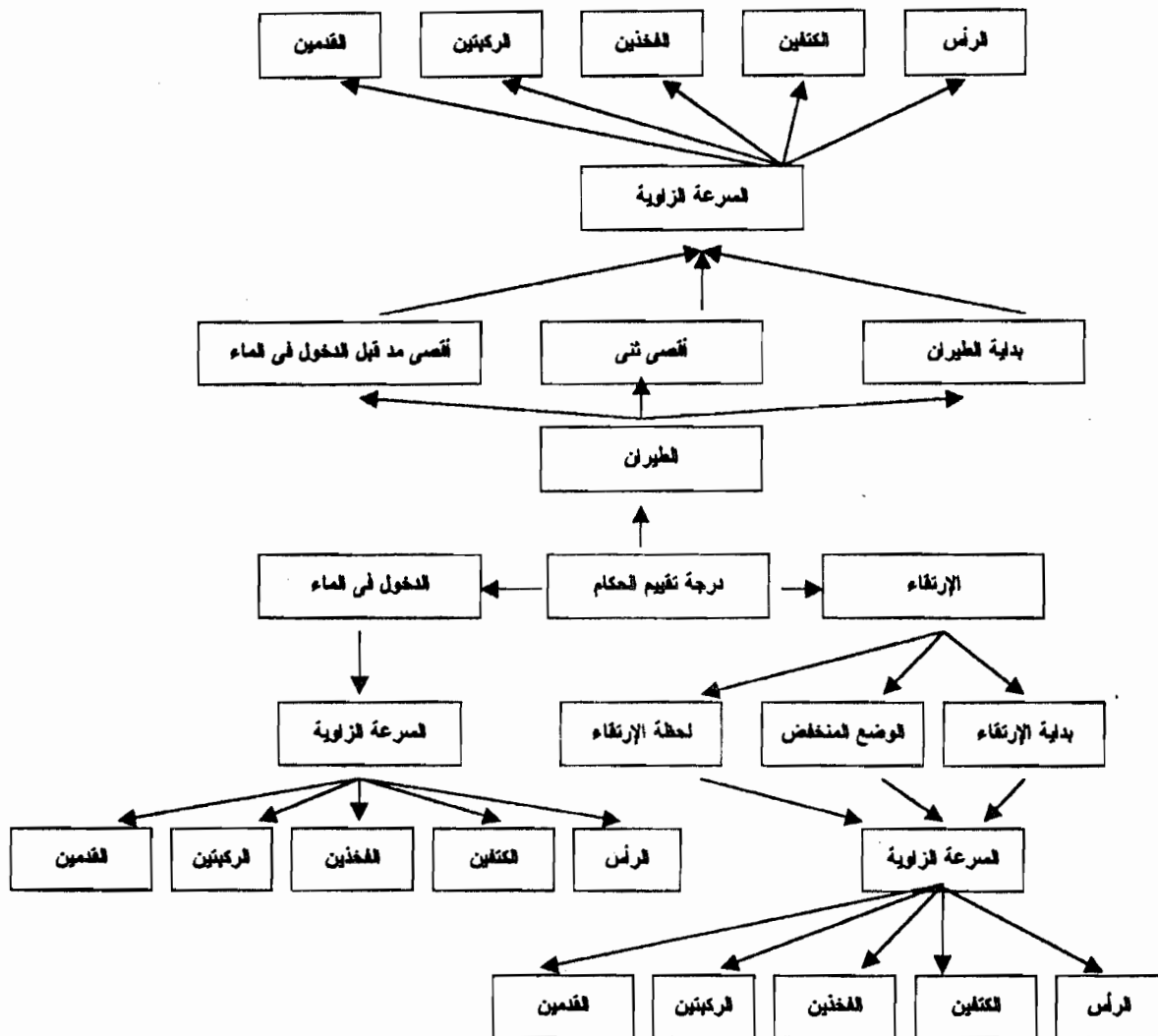
تم تحليل أداءات المهارة قيد الدراسة لكل من الغطاسين قيد الدراسة باستخدام نظام التحليل الحركي الآلي الشخصي ويشتمل على Cpu (8048 Dx) (السرعة ٦٦ Hz) مبرمج صورى (كارت شاشة) على الأقل ٢٥٦ لون دقة 800×600 نقطة (Pixel) ، وقد تم تحليل ٨٥ كادر في كل محاولة أداء تقريبا من الستة أداءات قيد الدراسة .

تم اختيار ٧ مواضع لمراحل الأداء استخدمت في تحليل الغطسة وهي :

- أ - بداية الإرتفاع من سلم الغطس الثابت على إرتفاع ١٠ متر .
- ب - الوضع المنخفض خلال الإرتفاع على سلم الغطس الثابت إرتفاع ١٠ متر .
- ج - وضع أقصى مد للجسم خلال الإرتفاع قبل لحظة كسر الإتصال على سلم الغطس الثابت إرتفاع ١٠ متر .
- د - لحظة كسر الإتصال بين القدمين وسلم الغطس الثابت .
- هـ - وضع أقصى إنتاء للجسم للوضع المنحنى خلال الطيران .
- و - وضع أقصى مد للجسم خلال الطيران قبل الدخول في الماء .

هـ - وضع الجسم لحظة الدخول في الماء .

قامت الباحثة بوضع نموذج لأوضاع الجسم خلال أداء المهارة قيد البحث والمحددة لدرجة تقييم الحكم لأدائها . شكل (١).



شكل (١)

أوضاع الجسم والسرعة الزاوية لوصولاته خلال أداء الفطسة المعكوسية
المنحنية والمحددة لدرجة آدائها

٤/٤ تحديد درجة تقييم الحكم :

استعانت الباحثة بدرجات تقييم الحكم (٧ قضاة) لكل أداء لكل عطاس بأخذ متوسطات مجموع الدرجات مضرب في درجة الصعوبة (١,٩) للفطسة المعاكسة المنحنية من السلم الثابت إرتفاع ١٠ متر، ويوضح جدول (١) درجات تقييم الحكم لكل من العطاسين قيد الدراسة .

جدول (١)

درجات تقييم أداء الفطسة المعاكسة المنحنية لأفراد عينة البحث

م	١	٢	٣	٤	٥	٦
الأسم	Mothew	Alexander	Tianling	Romel	Petter	Choehying
الجنسية	AUS	GAM	CHN	MEX	GRB	COR
درجة الأداء	٥٣,٥٨	٥١,٣١	٥١,٣٠	٤٧,٣٦	٤٥,٦٠	٤٢,٧٥

٥/٥ الخصائص الشكلية

تحديد الخصائص الشكلية للجسم خلال مراحل أداء الإرقاء والطيران والدخول في الماء خلال أداء الفطسة المعاكسة المنحنية من السلم الثابت إرتفاع ١٠ متر وقياس زوايا مفاصل كل من الرأس والكتفين والفخذين والركبتين والقائمين للأوضاع المختارة .

٦/٦ المعالجة الإحصائية : The Statistical Treatment :

استخدمت الباحثة حزمة البرنامج الإحصائي للعلوم الاجتماعية (SPSS) في معالجة البيانات باستخدام الحاسب الآلي الشخصي للباحثة في حساب مالي:

Arithmetic Mean	١/٦/٦ المتوسط الحسابي
Std. Deviation	٢/٦/٦ الانحراف المعياري
Minimum and Maximum	٣/٦/٦ الحدين الأدنى والأقصى
Range	٤/٦/٦ المدى
Skewness	٥/٦/٦ معامل الإنلواء
Spearman's Correlation Coefficient	٦/٦/٦ معامل إرتباط الرتب لسبيرمان
(١٥) Stepwise Regression	٧/٦/٦ التحليل المنطقي للإنحدار

٧/٠ عرض النتائج ومناقشتها : Results Presentation and Discussion

١/١ عرض النتائج : Results Presentation

تعرض الجداول من (٢ إلى ٧) المتوسطات الحسابية والإحرافات المعيارية والحدين الأدنى والأقصى والمدى ومعامل الإنلواء لسرعة الزاوية لكل من وصلات مفاصل الجسم خلال كل من الأوضاع المنخفضة خلال الارتفاع ، نهاية الارتفاع ، لحظة الانطلاق خلال الارتفاع ، أقصى ثني للجسم خلال الطيران ، أقصى مد للجسم قبل الدخول في الماء ، أقصى مد للجسم لحظة الدخول في الماء ، درجة تقييم الحكم للأداء .

ويعرض الجدولين (٨ ، ٩) مصفوفة إرتباط الرتب لسبيرمان Spearman's Correlation Coefficient بين متوسط السرعات الزاوية لمفاصل الجسم في كل مرحلة من مراحل الارتفاع والطيران والدخول في الماء ودرجة أداء الغطسة قيد الدراسة ، والتحليل المنطقي لأنحدار متوسط السرعات الزاوية في درجة أداء الغطسة قيد الدراسة .

ويعرض الجداول من (١٠ إلى ١٥) زوايا وصلات مفاصل كل من الرأس والكتفين والفخذين والركبتين والقدمين ودرجة أداء اللاعبين قيد البحث للأوضاع المختارة .

تعرض الأشكال (٢ ، ٣ ، ٤ ، ٥ ، ٦ ، ٧) منحنيات متوسطات قيم السرعة الزاوية لمفاصل كل من الرأس والكتفين والفخذين والركبتين والقدمين خلال الأوضاع موضع الدراسة لمراحل أداء الغطسة المعكوسه المنحنية لأفراد عينة البحث ، كذلك الصور المتتابعة لللاعب Mathew Helm (Aus) الحائز على المركز الأول خلال مراحل أداء الغطسة المعكوسه المنحنية من السلالم الثابت على ارتفاع ١٠ متر .

جدول (٢)

المتوسط الحسابي والإحرااف المعياري والحدين الأدنى والأقصى ، والمدى ومعامل الإنماء
للسرعة الزاوية لكل من وصلات مفاصل الجسم خلال الوضع المنخفض خلال الإرتفاع
ودرجة أداء الغطسة قيد الدراسة لأفراد عينة البحث

(ن = ٦ لاعبين)

معامل الإنماء	المدى	الحد الأقصى	الحد الأدنى	الإحرااف المعياري	المتوسط الحسابي	السرعة الزاوية
١,٧١٠-	٣٤١,٢٧	١٠١,٨٨	٢٣٩,٤٠-	١٣١,٤٤٦٠	٨,٢٩٤٥	الرأس
٢,٣٨٦	١٥٥,٣٩	١٥٦,٢٥	٠,٨٦	٦٠,٧٦٧٥	٣٢,٩٣٢٠	الكتفين
٢,٢٨٧-	٤٤٠,٦٦	٤,٩٢-	٤٤٥,٥٨-	١٦٧,٩٧١٦	١٠٧,٩٣٥٢-	الفخذين
٠,٢٢٧-	٧٦,١٨	١٤,٠٠-	٩٠,١٨-	٢٥,٧٥٠٢	٥٠,٢٥٣٢-	الركبتين
٠,٩٦٨	١٠١,١٥	٥٢,٨١	٤٨,٣٣-	٣٤,٨٣٣٩	٧,٧٦٢٥-	القدمين
٠,٣٤٢-	١٠,٨٣	٥٣,٥٨	٤٢,٧٥	٤,١٠٣٢	٤٨,٦٥٠٠	درجة الأداء

جدول (٣)

المتوسط الحسابي والإحرااف المعياري والحدين الأدنى والأقصى ، والمدى ومعامل الإنماء
للسرعة الزاوية لكل من وصلات مفاصل الجسم خلال نهاية الإرتفاع ودرجة أداء
الغطسة قيد الدراسة لأفراد عينة البحث

(ن = ٦ لاعبين)

معامل الإنماء	المدى	الحد الأقصى	الحد الأدنى	الإحرااف المعياري	المتوسط الحسابي	السرعة الزاوية
١,٩٢٩	٣٥٥,٤٦	٢٢٩,١٧	١٢٦,٢٩-	١٣١,٧٠٢٩	٢٥,٩٠٨٠-	الرأس
١,٠٩٦-	١٦٢٦,٠٤	٩٠٣,١٣	٧٢٢,٩٢-	٦٠٢,٥٩٤٠	٢٨٤,٠٠٣٠	الكتفين
٠,٦٢٧-	٢٣٢,٢٩	٤٢٨,١٣	١٩٥,٨٣	٩٥,٤٤٤١	٣٢٥,٥٨٠٢	الفخذين
١,٤١٠-	٤٥٧,١٧	٥٠٠,٠٠	٤٢,٨٣	١٧٢,٥١٥٩	٣٤٨,٥٨٢٤	الركبتين
١,٥٩٣-	١٠١٤,٣٨	٥٨٠,٠٠	٤٣٤,٣٨-	٣٣٧,٣٢٠٦	٢٠٣,١٨١٣	القدمين
٠,٣٤٢-	١٠,٨٣	٥٣,٥٨	٤٢,٧٥	٤,١٠٣٢	٤٨,٦٥٠٠	درجة الأداء

جدول (٤)

المتوسط الحسابي والإتحراف المعياري والحدين الأدنى والأقصى ، والمدى ومعامل الإنتواء
للسرعة الزاوية لكل من وصلات مفاصل الجسم لحظة الإنطلاق خلال الإرتفاع
ودرجة أداء الفطسة قيد الدراسة لأفراد عينة البحث

(ن = ٦ لاعبين)

معامل الإنتواء	المدى	الحد الأقصى	الحد الأدنى	الإتحراف المعياري	المتوسط الحسابي	السرعة الزاوية
١,١٦٣	٣٨٨,٧٥	٢٦٨,٧٥	١٢٠,٠٠-	١٤٨,٩٠٥٢	١١,٤٥٨٣	الرأس
٠,١٩١	٤٩٥,٠٠	٢٧٠,٠٠	٢٢٥,٠٠-	٢٠٩,٥٩٢٥	١٩,٧٩١٧	الكتفين
٠,٥٣٢	٩٢٠,٠٠	٤٧٥,٠٠	٤٤٥,٠٠-	٣٤٣,٢٩٩٠	٤٠,٨٣٣٣-	الخدين
٠,١٧٤-	١٠٠٦,٢٥	٤٦٨,٧٥	٥٣٧,٥٠-	٣٢٤,١٩٢٩	٢١,٦٦٦٧-	الركبتين
٢,١٥٧	١٢٠٠,٠٠	١٢٠٠,٠٠	٠,٠٠	٤٣٣,٧٠٥٣	٣٣٨,٥٤١٧	القدمين
٠,٣٤٢-	١٠,٨٣	٥٣,٥٨	٤٢,٧٥	٤,١٠٣٢	٤٨,٦٥٠٠	درجة الأداء

جدول (٥)

المتوسط الحسابي والإتحراف المعياري والحدين الأدنى والأقصى ، والمدى ومعامل الإنتواء
للسرعة الزاوية لكل من وصلات مفاصل الجسم لأقصى ثني للجسم خلال الطيران
ودرجة أداء الفطسة قيد الدراسة لأفراد عينة البحث

(ن = ٦ لاعبين)

معامل الإنتواء	المدى	الحد الأقصى	الحد الأدنى	الإتحراف المعياري	المتوسط الحسابي	السرعة الزاوية
٠,٢١٢	٣٣٣,٥٥	١٨٠,٧٧	١٥٢,٧٨-	١٤٣,٣٤٤٦	٣,٠٢٧٠-	الرأس
١,١١٣	٤٨٧,٣١	٢٧٠,٠٠	٢١٧,٣١-	٢٠٠,٢٠٤٧	٥٥,١٧٦٣-	الكتفين
٠,٣٠٢	٧١٤,٢٣	٢٦٩,٢٣	٤٤٥,٠٠-	٢٩٤,٤١٩٨	١١٧,٦٧٤٣-	الخدين
١,٥٦٦	٥٦,٩٤	٥٦,٩٤	٠,٠٠	٢٣,٧٤٠٠	١٤,١٢٠٣	الركبتين
١,٦٢٦	٩٧,٢٢	٩٧,٢٢	٠,٠٠	٤٠,٢٦٤٠	٢٣,٧٠٣٧	القدمين
٠,٣٤٢-	١٠,٨٣	٥٣,٥٨	٤٢,٧٥	٤,١٠٣٢	٤٨,٦٥٠٠	درجة الأداء

جدول (٦)

المتوسط الحسابي والإتحراف المعياري والحدين الأدنى والأقصى ، والمدى ومعامل الإنماء
للسرعة الزاوية لكل من وصلات مفاصل الجسم لأقصى مدد للجسم قبل الدخول في الماء
ودرجة أداء الخطسة قيد الدراسة لأفراد عينة البحث

(ن = ٦ لاعبين)

معامل الإنماء	المدى	الحد الأقصى	الحد الأدنى	الإتحراف المعيارى	المتوسط الحسابي	السرعة الزاوية
٠,٥٨٤-	٣٣٠,٧٧	١٨٠,٧٧	١٥٠,٠٠-	١٢٢,٣٨٣٢	٤٤,٦٢٩٨	الرأس
٠,٨٠٧	٦٤٦,٠٦	٤٢٨,٧٥	٢١٧,٣١-	٢٣٢,٢١٨٩	٥٠,٦٩٦٠	الكتفين
٠,٠٤٥-	٢٦٩,٢٣	٢٦٩,٢٣	٠,٠٠	١٠٥,٥١٧٠	١٢١,٧٦٤٥	الفخدين
٠,٠٠٠	٠,٠٠٠	٠,٠٠٠	٠,٠٠٠	٠,٠٠٠	٠,٠٠٠	الركبتين
٠,٠٠٠	٠,٠٠٠	٠,٠٠٠	٠,٠٠٠	٠,٠٠٠	٠,٠٠٠	القدمين
٠,٣٤٢-	١٠,٨٣	٥٣,٥٨	٤٢,٧٥	٤,١٠٣٢	٤٨,٦٥٠٠	درجة الأداء

جدول (٧)

المتوسط الحسابي والإتحراف المعياري والحدين الأدنى والأقصى ، والمدى ومعامل الإنماء
للسرعة الزاوية لكل من وصلات مفاصل الجسم لأقصى مدد للجسم لحظة الدخول
في الماء ودرجة أداء الخطسة قيد الدراسة لأفراد عينة البحث

(ن = ٦ لاعبين)

معامل الإنماء	المدى	الحد الأقصى	الحد الأدنى	الإتحراف المعيارى	المتوسط الحسابي	السرعة الزاوية
٠,٧٢١-	٧٢,٥٦	١٩,٢٣	٥٣,٣٣-	٢٨,٠٤٩٨	١٢,٤٥٤٥-	الرأس
١,٤٠١	١٠٧٥,٠٠	١٠٧٥,٠٠	٠,٠٠٠	٣٩٦,٧٧٧٩	٣٥١,٧٨٨٣	الكتفين
٢,٢٧٣	٧٨,١٣	٧٨,١٣	٠,٠٠٠	٣٠,٥٦٨٦	١٦,٧٧٠٨	الفخدين
٠,٠٠٠	٠,٠٠٠	٠,٠٠٠	٠,٠٠٠	٠,٠٠٠	٠,٠٠٠	الركبتين
٠,٠٠٠	٠,٠٠٠	٠,٠٠٠	٠,٠٠٠	٠,٠٠٠	٠,٠٠٠	القدمين
٠,٣٤٢-	١٠,٨٣	٥٣,٥٨	٤٢,٧٥	٤,١٠٣٢	٤٨,٦٥٠٠	درجة الأداء

جدول (٨)

مصفوفة ارتباط الرتب لسبيرمان Spearman's rho بين متوسط السرعة الزاوية لكل من
وصلات مفاصل الجسم في كل مرحلة من مراحل الارتفاع والطيران والدخول في الماء
ودرجة أداء الغطسة المعكوسه المنحنية

Y	X _٩	X _٨	X _٧	X _٦	X _٥	X _٤	X _٣	X _٢	X _١	
٠,٠٢٩-	٠,٠٢٩	٠,٢٣٢	٠,٦٠٠	٠,٠٨٦-	٠,٤٨٦-	٠٠,٨٢٩	٠,٤٢٩-	٠,٤٨٦-		X _١
٠,٥٤٣	٠,٥٤٣-	٠,٥٤٣-	٠,٠٨٧-	٠,٧٧١-	٠,٦٠٠-	٠,٥٤٣	٠,٢٠٠-	٠,٣٧١		X _٢
٠,٥٤٣-	٠,٧١٤-	٠,٣١٩	٠,٠٨٦	٠,٦٥٧-	٠٠,٨٢٩	٠,٢٥٧-				X _٣
٠,٠٢٩	٠,٠٨٦-	٠,٥٥١	٠,٥٤٣	٠,٢٥٧-	٠,٢٠٠-					X _٤
٠,٣٧١-	٠,٤٢٩-	٠,٠٢٩	٠,٠٨٦-	٠,٧١٤-						X _٥
٠,٠٨٦	٠,٧٧١	٠,١٧٤-	٠,٠٢٩							X _٦
٠,٧٧١-	٠,٠٨٦	٠,٤٩٣								X _٧
٠,٢٦١-	٠,٤٦٤-									X _٨
٠,٠٢٩										X _٩
										Y

تفضي العلامة * أن معامل الإرتباط دال إحصائيا عند مستوى (٠٠٠٥).

- يبين جدول (٨) السابق وجود مايلي :
- عدد ٤٥ معامل إرتباط .
- عدد ٢ معامل إرتباط دال إحصائيا عند مستوى دلالة إحصائية (٠٠٠٥) .
- عدد ٢٥ معامل ارتباط سالب بنسبة ٥٥,٥% ، ٢٠ معامل ارتباط موجب بنسبة ٤٤,٤% .
- علاقة طردية بين متوسط السرعة الزاوية لمفصل الرأس في الوضع المنخفض خلال الارتفاع ومتوسط السرعة الزاوية لمفصل الرأس في وضع أقصى ثني لمفصلى الفخذين خلال الطيران حيث كان ($r = 0,829$ ، $P = 0,042$).
- علاقة طردية بين متوسط السرعة الزاوية لمفصل الرأس في وضع بداية الطيران ومتوسط السرعة الزاوية لمفصلى الكتفين في وضع نهاية الارتفاع حيث كان : ($r = 0,829$ ، $P = 0,042$)

جدول (٩)

التحليل المنطقي لأنحدار متوسط السرعات الزاوية لكل من وصلات مفاصل الجسم في كل مرحلة من مراحل الارتفاع والطيران والدخول في الماء الأكثر مساهمة

في درجة أداء الغطسة المعاكسة المنحنية

نسبة المساهمة %	قيمة 'ت' المحسوبة	درجات الحرية	خطأ المعياري	معامل الإنحدار الجزئي	المتغيرات
	٠,٠٠		٠,٠٠٠	٥٦,١٥٩	المقدار الثابت
٢٨,٤٠	٠,٠٠		٠,٠٠٠	٠,٠٠٤٣ -	X ١
	٠,٠٠	٥	٠,٠٠٠	٠,١٥٨ -	X ٥
٦٦,٥٠	٠,٠٠		٠,٠٠٠	٠,٠٨٦	X ٢
٤,٨٠	٠,٠٠		٠,٠٠٠	٠,٠٠٩ -	X ٣
٠,٣٠	٠,٠٠		٠,٠٠٠	٠,٠٠٦٧	X ٤
١٠٠,٠٠					المجموع

يبين جدول (٩) السابق أن أكثر متوسط للسرعة الزاوية مساهمة في درجة تقييم أداء الغطسة المعاكسة المنحنية كان لمفصل الرأس خلال وضع نهاية الارتفاع وقد ساهم بنسبة ٦٦,٥% في درجة تقييم أداء الغطسة قيد الدراسة ، يليه كل من زاوية مفصل الرأس في الوضع المنخفض خلال الارتفاع ، زاوية مفصل الكتفين في الوضع المنخفض خلال الارتفاع حيث ساهمما معاً بنسبة ٢٨,٤ في درجة أداء الغطسة قيد الدراسة ، يليهما على التوالي زاويتي مفصل الرأس في وضع بداية الطيران بنسبة ٤,٨% ثم زاويتي مفصل الرأس في أقصى ثني لمفصل الكتفين خلال الطيران بنسبة ٠,٣% .

والجدير بالذكر أن هذه السرعات الزاوية ساهمت مجتمعة بنسبة ١٠٠% في درجة أداء الغطسة قيد الدراسة ، ويشير ذلك بصفة مبدئية إلى أهمية هذه السرعات في الحصول على درجات تحكيم مرتفعة .

وبذلك تصبح المعادلة التالية للتبو بدرجة تقييم الحكم لأداء الغطسة المعاكسة المنحنية من السلم الثابت ارتفاع ١٠ متر كالتالي :

$$Y = 56.159 - 0.0043 X_1 - 0.158 X_5 + 0.086 X_2 - 0.009 X_3 + 0.0067 X_4$$

جدول (١٠)

زوايا ووصلات مفاصل اللاعب Mathew Helm(AUS)

درجة الأداء	زوايا ووصلات مفاصل كل من					رقم الصور	مسلسل
	القدمين	الركبتين	الخفين	الكتفين	الرأس		
٥٣,٥٨	٩٠	١٨٠	١٨٠	٥	٩٠	١	١
	٦٤	٨٠	٥٠	١٠	٧٠	٧٥	٢
	١٨٠	١٨٠	١٢٤	٤٠	٤٠	٨٠	٣
	١٨٠	١٨٠	٣٥	٩٤	١٦	٨٥	٤
	١٨٠	١٨٠	١٨٠	٥٠	١٢٠	٩٠	٥
	١٨٠	١٨٠	١٨٠	٩٠	٩٠	٩٥	٦
	١٨٠	١٨٠	١٨٠	١٨٠	٩٠	١٠٠	٧

جدول (١١)

زوايا ووصلات مفاصل اللاعب Alexander Dispatia(GAM)

درجة الأداء	زوايا ووصلات مفاصل كل من					رقم الصور	مسلسل
	القدمين	الركبتين	الخفين	الكتفين	الرأس		
٥١,٣١	٩٠	١٨٠	١٨٠	١٠	٢٠	١	١
	٨٦,٥	٧٩	٨٥	٢٠	١٦٦	٢٩	٢
	١٠٠	١٨٠	١٨٠	١٩٣,٥	١٦٠	٣٥	٣
	١٦٢	١٨٠	١٨٠	١٩٨	١٦١	٣٧	٤
	١٨٠	١٨٠	٣٩	١٣٩	١١٥	٤٧	٥
	١٨٠	١٨٠	١٨٠	١٨٠	١٦٠	٧٣	٦
	١٨٠	١٨٠	١٨٠	١٨٠	١٨٠	٨٠	٧

جدول (١٢)

زوايا ووصلات مفاصل اللاعب Tian Liang (CHN)

درجة الأداء	زوايا ووصلات مفاصل كل من						رقم الصور	مسلسل
	القدمين	الركبتين	الفخذين	الكتفين	الرأس			
٥١,٣٠	١٨٠	١٨٠	١٨٠	٥	١٢	١	١	
	٦٤	٦٢,٥	٧٣	٤٢,٥	١١	٧	٢	
	١٢٠	١٢٢	١٢٠	١٨٨	١٦,٥	١٣	٣	
	١٤٥	١٥٩,٥	١٣٨	١٧٠	٢٣,٥	١٥	٤	
	١٨٠	١٨٠	٢٧,٥	٩٤	٤٣	٢٤	٥	
	١٨٠	١٨٠	١٨٠	٨	٩٠	٤٥	٦	
	١٨٠	١٨٠	١٨٠	١٨٠	٩٠	٤٩	٧	

جدول (١٣)

زوايا ووصلات مفاصل اللاعب Romel(MEX)

درجة الأداء	زوايا ووصلات مفاصل كل من						رقم الصور	مسلسل
	القدمين	الركبتين	الفخذين	الكتفين	الرأس			
٤٧,٣١	٩٠	١٨٠	١٨٠	١٠	٢٠	١	١	
	٥٨	٨٢	٥٩,٥	١٦	١٨٣	٤١	٢	
	١٣٢	٢٠١,٥	١٥٥,٥	١٥٨	١٤٩	٤٨	٣	
	١٨٠	١٨٠	١٧٤,٥	١٦٨	١٤٤,٥	٤٩	٤	
	١٨٠	١٨٠	٤٠	١١٨	١٠٨	٦٢	٥	
	١٨٠	١٨٠	١٨٠	٥	٢٠٢	٧٥	٦	
	١٨٠	١٨٠	١٨٦	١٨٠	١٧٠	٩٠	٧	

جدول (١٤)

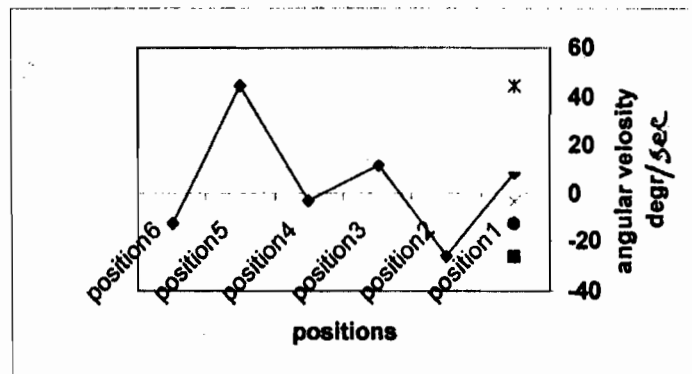
زوايا وصلات مفاصل اللاعب Peter (GRB)

درجة الأداء	زوايا وصلات مفاصل كل من						رقم الصور	مسلسل
	القدمين	الركبتين	الفخذين	الكتفين	الرأس			
٤٥,٦	٩٠	١٨٠	١٨٠	٥	١٨	١	١	
	١٧٤,٥	٨٢	٨١,٥	٢٣	١٧٩	٤١	٢	
	١٠٥	١٥٤,٥	١٥٠	١٦٧,٥	١٦١,٥	٤٥	٣	
	١٨٠	١٨٠	٥٠	٩٩,٥	١٣٤,٥	٥٥	٤	
	١٨٠	١٨٠	١٨٠	٨,٥	١٨٩,٥	٧٥	٥	
	١٨٠	١٨٠	١٨٠	١٨٠	١٨٠	٨٥	٦	
	١٨٠	١٨٠	١٨٢	١٨٠	١٨٠	٨٩	٧	

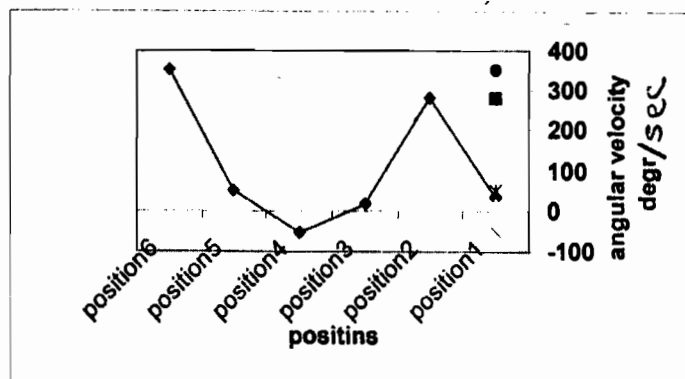
جدول (١٥)

زوايا وصلات مفاصل اللاعب Choe Hyoing (COR)

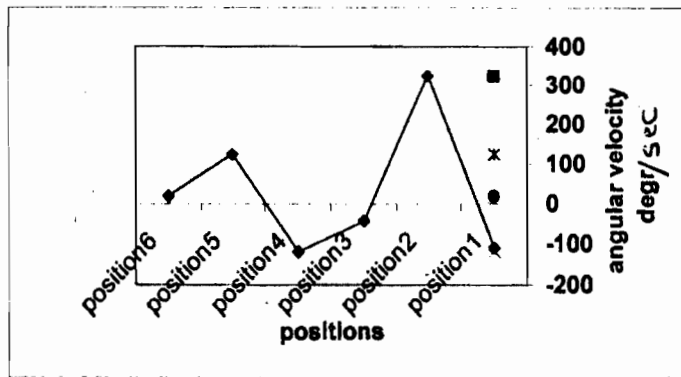
درجة الأداء	زوايا وصلات مفاصل كل من						رقم الصور	مسلسل
	القدمين	الركبتين	الفخذين	الكتفين	الرأس			
٤٢,٧٥	١١٥	١٨٠	١٨٠	٤	٣٣	١	١	
	٥٠	٧٩	١١٧	٣٩	٢٨,٥	٤٨	٢	
	١٢٥,٥	١٨٠	١٧٠	١٧٣,٥	٦,٠	٥٤	٣	
	١٨٠	١٧٠	١٥٠	١٦٨,٥	٢٧,٥	٥٦	٤	
	١٨٠	١٨٠	٣٠	١١٨,٥	٢٢	٦٥	٥	
	١٨٠	١٨٠	١٨٠	٧٢,٥	١٩٠	٩١	٦	
	١٨٠	١٨٠	٢٠٥	١٦٥	١٧٧	٩٩	٧	



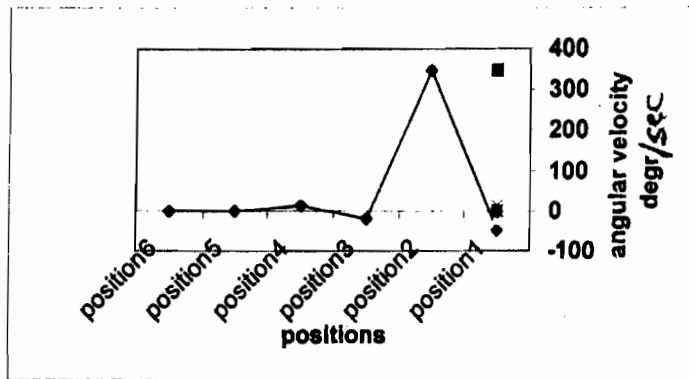
شكل (٢) متوسط قيم السرعة الزاوية لوصلات مفاصل الرأس خلال الأوضاع موضع الدراسة خلال مراحل أداء الغطسة المعاكسة المنحنية لأفراد عينة البحث



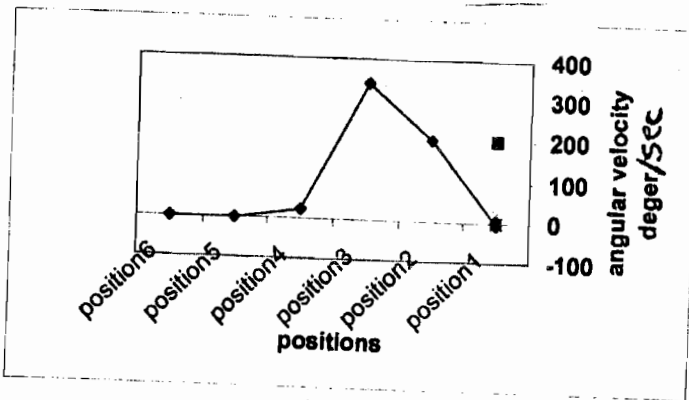
شكل (٣) متوسط قيم السرعة الزاوية لوصلات مفصلى الكتفين خلال الأوضاع موضع الدراسة خلال مراحل أداء الغطسة المعاكسة المنحنية لأفراد عينة البحث



شكل (٤) متوسط قيم السرعة الزاوية لوصلات مفصلى الفخذين خلال الأوضاع موضع الدراسة خلال مراحل أداء الغطسة المعاكسة المنحنية لأفراد عينة البحث



شكل (٥) متوسط قيم السرعة الزاوية لوصلات مفصلى الركبة خلال الأوضاع موضع الدراسة خلال مراحل أداء الخطوة المعاكسة المنحنية لأفراد عينة البحث

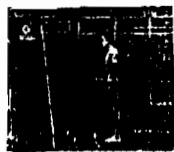


شكل (٦) متوسط قيم السرعة الزاوية لوصلات مفصلى القدمين خلال الأوضاع موضع الدراسة خلال مراحل أداء الخطوة المعاكسة المنحنية لأفراد عينة البحث

F = Frame D = Delay



F:1 D:40



F:2 D:40



F:3 D:40



F:4 D:40



F:5 D:40



F:6 D:40



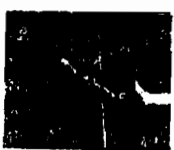
F:7 D:40



F:8 D:40



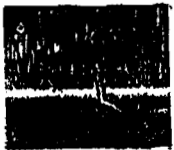
F:9 D:40



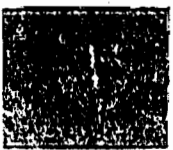
F:10 D:40



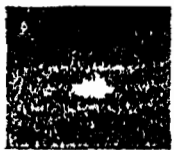
F:11 D:40



F:12 D:40



F:13 D:40



F:14 D:40



F:15 D:40

شكل (٧) الصور المتتابعة للاعب (AUS) Mathew Helm (الحاizer على المركز الأول خلال مراحل أداء الغطسة المعاكسة المنحنية من السلم الثابت على ارتفاع .٠١متر

٧/٧ مناقشة النتائج : The Results Discussion :

١/٢/٧ أظهرت الصور المتتابعة (شكل ٧) أن الغطسة المعاكسة المنحنية حركة إنتقالية دورانية يتم فيها إنتقال مركز تقل جسم اللاعب وفى نفس الوقت تدور أطراف الجسم والرأس حول المحور الأفقي المار بمركز تقل كلثة الجسم ١٨٠ درجة ويتم ذلك بالإرتفاع الأمامي وتاثير الدفع الخلفى ، ويتمأخذ الإرتفاع من سلم الغطس الثابت من وضع الوقوف وقد أوضحت أفضل المحاولات جدول (١٠) أن اللاعب يتشى مفاصل كل من الرأس والكتفين والفخذين والركبتين والقدمين بمصاحبة مرحلة النزاعين أسفل خلفا حتى يصل اللاعب إلى الوضع المنخفض حيث يصل زوايا الرأس إلى (٧٠٪)، الكتفين (١٠٪)، الفخذين (٥٠٪)، الركبتين (٨٠٪)، القدمين (٦٤٪)، ثم يبدأ فى مد مفاصل كل من الكتفين والفخذين والركبتين والقدمين مع مرحلة النزاعين أسفل أماما عاليا حيث يصل إلى مد مفاصل الجسم خلال الوضع النهائى للارتفاع قبل الإنطلاق حيث يصبح زوايا كل من مفاصل الرأس (٤٠٪) والكتفين (٤٠٪) والفخذين (١٢٤٪) والركبتين (١٨٠٪) والقدمين (١٨٠٪) ثم يبدأ اللاعب فى الإنطلاق حيث تصبح زوايا كل من الرأس (١٦٪) والكتفين (٩٤٪) والفخذين (٣٥٪) والركبتين (١٨٠٪) والقدمين (١٨٠٪) حيث يبدأ فى ثنى مفاصل الجسم حتى يصل إلى أقصى ثنى خلال الطيران حيث يصبح زوايا كل من الرأس (١٢٠٪) والكتفين (٥٠٪) والفخذين (١٨٠٪) والركبتين (١٨٠٪) والقدمين (١٨٠٪)، حيث يتم الدوران للخلف ويبدأ اللاعب فى مد مفاصل الجسم استعداد للهبوط فى الماء حيث يتم مد جميع مفاصل الجسم مداً كاملاً قبل الدخول فى الماء نهاية الطيران وإتمام اللف (١٨٠٪) حول المحور الأفقي المار بمركز تقل كلثة الجسم حيث تصل زوايا الجسم فى هذا الوضع إلى الرأس (٩٠٪) والكتفين (٩٠٪) والفخذين (١٨٠٪) والركبتين (١٨٠٪) والقدمين (١٨٠٪) حيث يدخل اللاعب باليدين فى الماء بطريقة سلسلة حيث يحتفظ بزوايا مد مفاصل الجسم حيث تصبح الرأس (٩٠٪)، الكتفين (١٨٠٪)، والفخذين (١٨٠٪)، والركبتين (١٨٠٪) والقدمين (١٨٠٪).

٢/٢/٧ تشير نتائج منحنيات متوسط السرعة الزاوية لكل من مفاصل الجسم خلال الأوضاع موضع الدراسة إلى أن متوسط السرعة الزاوية لمفصل الرأس خلال الأوضاع موضع الدراسة تأرجح بين الإرتفاع والإختفاض حيث وصل إلى أقصى مقدار له عند أقصى مد للجسم قبل لحظة الدخول فى الماء خلال الطيران شكل (٢).

ومتوسط السرعة الزاوية لمفصل الكتفين تأرجح بين الإرتفاع والإختفاض خلال الأوضاع موضع الدراسة حيث وصل لأنصى مقدار له عند الوضع لحظة الدخول فى الماء

شكل (٣). ومتوسط السرعة الزاوية لمفصلى الفخذين تأرجح بين الإرتفاع والإختفاض حتى وصل إلى أقصى مقدار له عند الوضع في نهاية الإرتفاع شكل (٤) ، ومتوسط السرعة الزاوية لمفصلى الركبتين تأرجح بين الإرتفاع والإختفاض حتى وصل لأقصى مقدار له عند الوضع في نهاية الإرتفاع شكل (٥) ، في حين أن متوسط السرعة الزاوية لمفصلى القدمين تأرجح بين الإرتفاع والإختفاض حتى وصل لأقصى مقدار له عند أقصى مد خلال الطيران قبل أقصى ثني شكل (٦).

ونفس الباحثة هذه النتائج في إطار أن خلال عملية المد بغرض الوصول إلى سرعة نهائية عالية خلالأخذ الإرتفاع من سلم الغطس الثابت يجب أن يتم بعد التمهيد لها بعملية ثني على شكل مرجحة بحيث تتواجد قوة موجبة لعجلة التسارع عند بدء المد عن طريق إيقاف حركة الثنى الإنسانية ، وبذلك يصبح دفع العجلة أكبر بصفة عامة مع ملاحظة بأن تكون نسبة دفع الإيقاف إلى دفع العجلة ١ : ٣ ، كما يتحتم بذلك القوة القصوى للعضلات – طبقاً للخواص الميكانيكية لجهاز الحركة الإنساني وحسب الظروف البيولوجية للإيقاظ العضلى – في النصف الثاني من مسافة العجلة بالنسبة لحركة المد ، ويجب مراعاة أن ذلك يتوقف على اختلافات الفروق الفردية من لاعب لأخر وهي دائماً تعتمد على التكوين الجسماني لللاعب وحالته التدريبية والقوة القصوى كأساس للقوة المتفجرة .

ويشير عادل عبدالبصير (١٩٩٨) (٧) إلى أنه يجب على لاعب الغطس أن يتحكم في سرعته الزاوية عن طريق تغيير أوضاع جسمه أثناء الغطس حتى تتم الحركة دون أحداث رذاذًا كثيراً خلال مرحلة الطيران حيث تصبح كمية الحركة الزاوية ثابتة ويصبح من المفيد عند ذلك استغلال الإرتباط العكسي بين السرعة الزاوية وعزم التصور الذاتي للجسم حيث أنه كلما زاد عزم التصور الذاتي للجسم عن طريق مد مفاصله كلما قلت سرعته الزاوية والعكس صحيح .

وأنه من أجل تحقيق الأداء الحادق في الحركات الدورانية يجب إستغلال أساس الحصول على الطاقة بشكل خاص عن طريق إستغلال إمكانية تغيير شكل الجسم (زواياه) وبالتالي تغيير عزم قصوره الذاتي ويتم إستغلال تغيير وضع الجسم بشكل ذكي في توجيه السرعة الزاوية في أثناء مرحلة الطيران (نظام الحركة الحرة) ، ويفتق ذلك مع ما أشار إليه طلحة حسام الدين (١٩٩٣) (٦) .

٣/٢/٧ أظهرت نتائج العلاقات الإرتباطية لسييرمان أن هناك علاقة طردية بين متوسط السرعة الزاوية لمفصل الرأس في الوضع المنخفض (أقصى ثني لمفاصل الجسم خلال الإرتفاع) ومتوسط السرعة الزاوية لمفصل الرأس في وضع أقصى ثني لمفصل الفخذين خلال الطيران ، ويعنى ذلك أنه كلما زاد متوسط السرعة الزاوية لمفصل الرأس في الوضع المنخفض زاد متوسط السرعة الزاوية لمفصل الرأس في وضع أقصى ثني للفخذين خلال الطيران ، وتفسر الباحثة هذه العلاقة فى إطار العلاقة العكسية بين عزم القصور الذاتى للجسم وسرعته الزاوية، حيث أن شكل الجسم فى الوضع الأول شبہ مکور والوضع الثانى منحنيات ، ويعنى ذلك صغر عزم قصور كلاهما الذاتى وزيادة السرعة الزاوية لكل منهما . كما أظهرت وجود علاقة طردية بين متوسط السرعة الزاوية لمفصل الرأس ومفصل الكتفين فى وضع نهاية الإرتفاع ، ويعنى ذلك أنه كلما زاد متوسط السرعة الزاوية لمفصل الرأس زاد متوسط السرعة الزاوية لمفصلى الكتفين فى وضع نهاية الإرتفاع .

٤/٢/٧ أظهرت نتائج التحليل المنطqi لأنحدار متوسطات السرعات الزاوية لكل من مفاصل الجسم فى كل مرحلة من مراحل الإرتفاع ، والطيران ، والدخول فى الماء الأكثر مساهمة فى درجة الأداء على درجة أدانها جدول (٩) أن متوسط السرعة الزاوية لمفصل الرأس فى وضع نهاية الإرتفاع هو أكثر المتغيرات قيد البحث مساهمة فى درجة تقييم أداء الحكم للغطسة قيد البحث يليها كل من زاوية مفصل الرأس فى الوضع المنخفض خلال الإرتفاع ، زاوية مفصلى الكتفين فى الوضع المنخفض خلال الإرتفاع ، يليهما على التوالى زاوية مفصل الرأس فى وضع بداية الطيران ، ثم زاوية مفصل الرأس فى أقصى ثني لمفصل الفخذين خلال الطيران ، والجدير بالذكر أن هذه السرعات ساهمت مجتمعة بنسبة ١٠٠ وهى نسبة مرتفعة تشير إلى أهمية تأثير هذه السرعات الزاوية لكل من مفصل الرأس ، مفصلى الكتفين فى الوضع المنخفض خلال الإرتفاع ، وزاوية مفصل الرأس فى كل من وضع بداية الطيران ، أقصى ثني لمفصلى الفخذين خلال الطيران .

وتفسر الباحثة هذه النتائج فى إطار أن الرأس هي الموجه الرئيسي لعملية الدوران الخالقى خلال مرحلة الطيران ، وتنقق نتائج هذه الدراسة مع ما أشار إليه جورج ريكهام George Reckham (١٩٧٥) (١٢) من حيث أنه خلال الإرتفاع تتحرك الرأس والكتفين للخلف وتخزن كمية الحركة فى الجذع والتى سوف تنتقل إلى جميع أجزاء الجسم لاستخدامها فى الدوران للخلف عندما تترك القدمين سلم الغطس الثابت ، وبذلك تصبح المعاملة التبوية

للتبؤ بدرجة تقييم الحكم لأداء الغطسة المعاكسة المنحنية من السلم الثابت إرتفاع ١٠ متر
هي :

$$Y = 56.159 - 0.0043 X_1 - 0.158 X_5 + 0.086 X_2 - 0.009 X_3 + 0.0067 X_4$$
 وبذلك تتحقق الإجابة عن تساؤلات البحث .

٠/٨ الاستنتاجات والتوصيات : The Conclusions and The Recommendations :

١/٨ الاستنتاجات : The Conclusions :

فى ضوء أهداف البحث وعيته ودقة وسائل جمع البيانات ومناقشة النتائج استنتجت الباحثة مايلى :

- ١/٨ توصيف أوضاع الجسم خلال الإرقاء
- ١/١/٨ وضع الوقوف جميع زوايا الرأس والكتفين والخدين والركبتين مقدارها ٥١٨٠ وزاويتي القدمين ٥٩٠.
- ٢/١/٨ الوضع المنخفض (أقصى ثى) زاوية مفصل الرأس ٥٧٠ ، ومفصل الكتفين ٥١٠ ومفصلى الخدين ٥٥٠ ، ومفصلى الركبتين ٥٨٠ ، ومفصلى القدمين ٥٦٤.
- ٣/١/٨ الوضع فى نهاية الإرقاء قبل الإنطلاق زاوية مفصل الرأس ٥٤٠ ، ومفصلى الكتفين ٥٤٠ ومفصلى الخدين ٥١٢٤ ، ومفصلى الركبتين ٥١٨٠ ، ومفصلى القدمين ٥١٨٠.
- ٤/١/٨ الوضع لحظة الإنطلاق زاوية مفصل الرأس ٥١٦ ، ومفصلى الكتفين ٥٩٤ ومفصلى الخدين ٥٣٥ ، ومفصلى الركبتين ٥١٨٠ ، ومفصلى القدمين ٥١٨٠.
- ٥/١/٨ وضع أقصى ثى خلال الطيران زاوية مفصل الرأس ٥١٦ ، ومفصلى الكتفين ٥٠ ومفصلى الخدين ٥١٨٠ ، ومفصلى الركبتين ٥١٨٠ ، ومفصلى القدمين ٥١٨٠.
- ٦/١/٨ وضع أقصى مد خلال الطيران قبل الدخول فى الماء زاوية مفصل الرأس ٥٩٠ ، ومفصلى الكتفين ٥٩٠ ومفصلى الخدين ٥١٨٠ ، ومفصلى الركبتين ٥١٨٠ ، ومفصلى القدمين ٥١٨٠.
- ٧/١/٨ وضع الجسم لحظة الدخول فى الماء زاوية مفصل الرأس ٥٩٠ ، ومفصلى الكتفين ٥١٨٠ ومفصلى الخدين ٥١٨٠ ، ومفصلى الركبتين ٥١٨٠ ، ومفصلى القدمين ٥١٨٠.
- ٢/١/٨ متوسط السرعة الزاوية لمقابلات الجسم فى الوضع المنخفض خلال الإرقاء زاوية مفصل الرأس (٨,٢٩٤٥ ° / ث) ، ومفصلى الكتفين (٥٣٢,٩٣٢ ° / ث) ،

- ٣/١/٨ متوسط السرعة الزاوية لمفاصل الجسم لحظة الإنطلاق زاوية مفصل الرأس (٠٢٥,٢٥٣٢ / ث)، ومفصل الكتفين (٠٧,٧٦٢٥ / ث) ، ومفصل الركبتين (٠٣٢٥,٥٨٠٢ / ث) ، ومفصلى القدمين (٥٣٤٨,٥٨٢٤ / ث)، ومفصلى الفخذين (٥٢٠٣,١٨١٣ / ث).
- ٤/١/٨ متوسط السرعة الزاوية لمفاصل الجسم لحظة الإنطلاق زاوية مفصل الرأس (٠٤٥,٤٥٨٣ / ث) ، ومفصل الكتفين (٠١٩,٧٩١٧ / ث) ، ومفصلى الفخذين (٠٤٠,٨٣٣٣ / ث) ، ومفصلى الركبتين (٠٢١,٦٦٦٧ / ث)، ومفصلى القدمين (٥٣٣٨,٥٤١٧ / ث).
- ٥/١/٨ متوسط السرعة الزاوية لمفاصل الجسم فى وضع أقصى ثى خلال الطيران زاوية مفصل الرأس (٠٣,٠٢٧٠ / ث) ، ومفصلى الكتفين (٥٥,١٧٦٣ / ث) ، ومفصلى الفخذين (٠١١٧,٦٧٤٣ / ث) ، ومفصلى الركبتين (٠١٤,١٢٠٣ / ث)، ومفصلى القدمين (٥٢٣,٧٠٣٧ / ث).
- ٦/١/٨ متوسط السرعة الزاوية لمفاصل الجسم فى وضع أقصى مد قبل الدخول فى الماء زاوية مفصل الرأس (٠٤٤,٦٢٩٨ / ث) ، ومفصلى الكتفين (٥٠,٦٩٦٠ / ث) ، ومفصلى الفخذين (٠١٢١,٧٦٤٥ / ث) ، ومفصلى الركبتين (صفر ° / ث)، ومفصلى القدمين (صفر ° / ث).
- ٧/١/٨ متوسط السرعة الزاوية لمفاصل الجسم فى وضع الجسم لحظة الدخول فى الماء زاوية مفصل الرأس (٠١٢,٤٥٤٥ / ث) ، ومفصلى الكتفين (٥٣٥١,٧٨٨٣ / ث)، ومفصلى الفخذين (٠١٦,٧٧٠٨ / ث) ، ومفصلى الركبتين (صفر ° / ث)، ومفصلى القدمين (صفر ° / ث).
- ٨/١/٨ كانت أكثر متوسطات السرعات الزاوية مساهمة في درجة أداء الغطسة المعكوسة المنحنية من السلم الثابت بارتفاع ١٠ متر على التوالي لكل من مفاصل الرأس خلال نهاية وضع الإنلاق ، مفاصل الرأس في الوضع المنخفض خلال الإنلاق، ومفصلى الكتفين في الوضع المنخفض خلال الإنلاق ، ومفصل الرأس في وضع بداية الطيران ، ومفصل الرأس في وضع أقصى ثى لمفصلى الفخذين خلال الطيران .
- ٩/١/٨ كانت المعادلة التنبؤية للتتبُّو بدرجة تقييم الحكم لأداء الغطسة قيد البحث بدلالة متوسطات السرعة الزاوية لمفاصل الجسم المساهمة فيه هي :

$$Y = 56.159 - 0.0043 X_1 - 0.158 X_2 - 0.086 X_3 + 0.009 X_4$$

١٠/٨ تتناسب السرعة الزاوية لمفصل الرأس في الوضع المنخفض خلال الإرقاء تتناسب طردياً مع السرعة الزاوية لمفصل الرأس في وضع أقصى ثني لمفصلي الفخذين خلال الطيران .

١١/٨ تتناسب السرعة الزاوية لمفصل الرأس في وضع بداية الطيران تتناسب طردياً مع زاويتي مفصلي الكتفين في وضع نهاية الإرقاء .

٢/٨ التوصيات : The Recommendations :

في حدود ما توصلت إليه الباحثة من استنتاجات توصى بما يلى :

١/٢/٨ عند تعليم الغطسة المعاكسة المنحنية من السلم الثابت إرتفاع ١٠ متر يجب الاهتمام بإستخدام المواصفات الشكلية لأوضاع الجسم خلال الإرقاء والطيران والدخول في الماء التي توصلت لها هذه الدراسة .

٢/٢/٨ التركيز على الاهتمام بالسرعة الزاوية لكل من الرأس والكتفين خلال الإرقاء، والرأس في وضع بداية الطيران ووضع أقصى ثني لمفصلي الفخذين خلال الطيران .

٣/٢/٨ استخدام المعاملة التبوية للتبيؤ بدرجة تقييم الحكم لأداء الغطسة المعاكسة المنحنية بدلاًة السرعات الزاوية لمفاصل الجسم المؤثرة فيه التي توصلت لها هذه الدراسة.

٤/٢/٨ تنمية مرنة مفاصل الجسم والقوة العضلية القصوى والمتجردة لعضلات الطرف السفلي .

قائمة المراجع

أولاً : المراجع العربية

- ١ - أشرف أحمد مختار هلال (١٩٨٠م) : العلاقة بين الارتفاع من الجرى ومستوى أداء الغطسة الأمامية المستقيمة من السلم المتحرك ، رسالة ماجستير غير منشورة ، كلية التربية الرياضية للبنين ، القاهرة .
- ٢ - جمال علاء الدين (١٩٨٠م) : مدخل بيوميكانيكي لتقدير مستوى إتقان الأداء المهارى فى المجال الرياضى (دراسة نظرية)، الدراسات العليا ، كلية التربية الرياضية بالأسكندرية .
- ٣ - جمال علاء الدين (١٩٩٤م) : دراسات معملية فى بيوميكانيكا الحركات الرياضية ، دار المعارف ، القاهرة ، (١٢ - ١٨) .
- ٤ - صلاح الدين محمد مالك (١٩٨٥م) : التحليل الديناميكى للدورتين ونصف الخلفية من السلم المتحرك ، رسالة ماجستير غير منشورة ، كلية التربية الرياضية للبنين ، جامعة المنيا .
- ٥ - صلاح الدين محمد مالك (١٩٩٠م) : مقارنة ميكانيكية الدورتين والنصف والدوره والنصف معكوسه منحنية من السلم المتحرك ٣ متر ، رسالة دكتوراه غير منشورة، كلية التربية الرياضية للبنين ، جامعة المنيا ، (١١١ - ١١٥).
- ٦ - طلحة حسام الدين (١٩٩٣م) : الميكانيكا الحيوية الأسس النظرية والتطبيقية ، الطبعة الأولى ، دار الفكر العربي ، (٩٥ - ١٠٠) .
- ٧ - عادل عبدالبصیر على (١٩٩٨م) : الميكانيكا الحيوية والتكامل بين النظرية والتطبيق في المجال الرياضي ، الطبعة الثانية مزودة ومنقحة ، مركز الكتاب للنشر ، القاهرة (١٨٥ - ٢٠٩) .
- ٨ - عادل عبدالبصیر على (٢٠٠٤م) : التحليل البيوميكانيكي لحركات جسم الإنسان أسلس وتطبيقاته ، المكتبة المصرية للطباعة والنشر والتوزيع ، الأسكندرية (١٠٤ - ١٠٢) .
- ٩ - عمرو محمد إبراهيم (٢٠٠٠م) : مساهمة بعض المتغيرات الديناميكية في مستوى أداء غطسة الدورتين والنصف الأمامية المنحنية من السلم المتحرك على ارتفاع متر واحد ، المجلة العلمية للبحوث والدراسات في التربية الرياضية، العدد الأول ، كلية التربية الرياضية ببور سعيد ، جامعة قناة السويس ، (٣٨٣ - ٣٥٦) .

ثانيا : المراجع الأجنبية

- 10- Bass, A.S. (1970) : A Mathematical Model for Evaluation of Supportive Force During Human Activities Underwater, Master, thesis, University of Wisconsin, Madison.
- 11- Gambral, D.W. (1998) : A Method of Determining the Relative Contribution of Diver and Springboard to the Vertical Ascent of Forward three and one Half Somer Sault Tuck, PHD Dissertation, Wisconsin University, Madison, W.I., P. (745).
- 12- George, Rakham (1975) : Diving Complete, Faber and Faber ltd., 3 Queen Square, London, P. (106).
- 13- Knapp Kenneth, K.L.A (1974) : A comparison of Body Mechanics Between Novice and Skilled Divers, Completed Research in H.P.E.R Inc. International Source, Vol. 15, P. (17 – 73).
- 14- Miller, D.I & Munro, C.F. (1985) : Greg Louganis Spring Board Take – off : I.Temporal and Joint Position analysis, International Journal of Sport Biomechanics, P. (209 – 220).
- 15- Miller, David K. (2002) : Measurement by the physical Educator, 4th Edition, Mc Graw – Hill Inc., New York, P. (1 : 51).
- 16- Mookerjee, S.B. (1997) : Springboard Take off, Linear and Angular Momentum Considerations, International Journal of Sports Biomechanics, P. (31).
- 17- Robert, G.A (1973) : Biomechanical Analysis of the Take off in Forward Rotation Dives Completed Research in H.P.E.R. Inc, Vol. 15, P. (14 – 309).